

М. Г. Кот

*Белорусский государственный университет, Минск, Беларусь***АСИМПТОТИКА СОБСТВЕННЫХ ВЕКТОР-ФУНКЦИЙ ОПЕРАТОРОВ,  
АППРОКСИМИРУЮЩИХ ДИФФЕРЕНЦИАЛЬНЫЕ УРАВНЕНИЯ  
С  $\delta$ -ОБРАЗНЫМИ КОЭФФИЦИЕНТАМИ**

**Аннотация.** Уравнения и системы, которые записываются в виде  $L_0 u = -\Delta u + a(\varepsilon)\delta u = f$ , возникают в разных приложениях и интенсивно изучаются. Входящее в это уравнение произведение  $\delta u$  не определено в классической теории обобщенных функций, поэтому одной из основных задач является придание смысла выражению в левой части уравнения, т. е. фактически построение оператора, который соответствует данному формальному выражению. Это достигается с помощью специальных аппроксимаций оператора умножения на  $\delta$ -функцию. Для исследования уравнений с  $\delta$ -образными коэффициентами мы применили подход, основными этапами которого являются: построение аппроксимаций рассматриваемого выражения с помощью операторов конечного ранга; нахождение явного вида резольвенты аппроксимирующего семейства; нахождение предела резольвенты и выделение случаев резонанса, когда предельный оператор не совпадает с  $-\Delta$ ; описание спектра построенных предельных операторов; исследование поведения собственных значений аппроксимирующих операторов. Цель настоящей работы заключается в нахождении асимптотики собственных вектор-функций для аппроксимаций, построенных в [2]. Таким образом, основным результатом данного исследования является построение асимптотики собственных вектор-функций в различных случаях резонанса.

**Ключевые слова:** обобщенная функция; собственные значения; собственные вектор-функции, метод Ньютона; асимптотика, резонанс, оператор

**Для цитирования.** Кот, М. Г. Асимптотика собственных вектор-функций операторов, аппроксимирующих дифференциальные уравнения с  $\delta$ -образными коэффициентами / М. Г. Кот // Вест. Нац. акад. наук Беларусі. Сер. фіз.-мат. навук. – 2017. – № 3. – С. 15–26.

M. G. Kot

*Belarusian State University, Minsk, Belarus***ASYMPTOTIC BEHAVIOR OF THE VECTOR-FUNCTIONS OF OPERATORS  
APPROXIMATING THE DIFFERENTIAL EQUATIONS WITH  $\delta$ -SHAPED COEFFICIENTS**

**Abstract.** The equations can be written as  $L_0 u = -\Delta u + a(\varepsilon)\delta u = f$  which appear in different applications and are studied intensively. In this equation,  $\delta u$  is not determined in the classical theory of generalized functions, so one of the main objectives is to give meaning to the expression on the left-hand side of the equation, that is, it is an actual construction of the operator that corresponds to a given formal expression. This is achieved by special approximations of multiplication of the operator by the  $\delta$ -function. To study equations with  $\delta$ -shaped coefficients we have applied the approach, the main steps of which are: constructing the approximations of the considered expressions with operators of finite rank; finding the explicit form approximating a resolvent family; determining a resolvent limit and allocating resonance cases; describing the spectrum of the constructed limit of operators; studying the behavior of the eigenvalues of approximating operators. The purpose of this work is to find the asymptotic behavior of vector-functions for approximations, built in [2]. Thus, the main result of this work is the construction of the asymptotic behavior of the vector-functions in different cases of resonance.

**Keywords:** generalized function; eigenvalues; behavior of vector-functions, Newton's method; asymptotic behavior, resonance, operator

**For citation.** Kot M. G. Asymptotic behavior of the vector-functions of operators approximating the differential equations with  $\delta$ -shaped coefficients. *Vesti Natsyional'noi akademii navuk Belarusi. Seriya fizika-matematychnykh navuk = Proceedings of the National Academy of Sciences of Belarus. Physics and Mathematics series*, 2017, no. 3, pp. 15–26 (in Russian).

**Введение.** Уравнения, которые записываются в виде

$$L u \equiv -\Delta u + a(\varepsilon)\delta u = f, \quad (1)$$

где коэффициент  $\delta$  есть обобщенная  $\delta$ -функция Дирака,  $u = (u_1, u_2)$ ,  $a(\varepsilon) = \begin{pmatrix} 0 & a_1(\varepsilon) \\ a_2(\varepsilon) & 0 \end{pmatrix}$ , а  $\Delta = \left(\frac{\partial}{\partial x_1}\right)^2 + \left(\frac{\partial}{\partial x_2}\right)^2 + \left(\frac{\partial}{\partial x_3}\right)^2$  – оператор Лапласа, возникают в разных приложениях [1] и интенсивно изучаются. Входящее в (1) произведение  $\delta u$  не определено в классической теории обобщенных функций, поэтому одной из основных задач является придание смысла выражению в левой части (1), т. е. фактически построение оператора, соответствующего формальному выражению (1).

Специальный вид матрицы коэффициентов  $a(\varepsilon)$  соответствует тому, что в рассматриваемой системе вторая компонента воздействует на первую, а первая – на вторую. Заметим, что системы с такими матрицами коэффициентов возникают в квантовой механике.

Один из основных подходов к решению этой задачи основан на аппроксимации выражения семейством корректно заданных операторов  $L_\varepsilon$ :

$$L_\varepsilon u = -\Delta u + a(\varepsilon) \int u(y) \varphi_\varepsilon(y) dy \varphi_\varepsilon(x).$$

Это семейство не имеет предела, и поэтому находится предел резольвент

$$\lim_{\varepsilon \rightarrow 0} (L_\varepsilon - \lambda)^{-1} := R(\lambda).$$

Если такой предел существует, то операторно-значная функция  $R(\lambda)$  оказывается резольвентой некоторого оператора, который соответствует рассматриваемой аппроксимации формального выражения. В случае операторов в пространстве  $L_2(R^3)$  скалярных функций было обнаружено, что в типичных случаях  $R(\lambda)$  есть резольвента невозмущенного оператора  $R(\lambda) = (-\Delta - \lambda I)^{-1}$ , но возможны случаи *резонанса*, когда  $R(\lambda)$  есть резольвента некоторого оператора, отличного от  $-\Delta$ . Резольвента  $R(\lambda)$  действует по формуле

$$R(\lambda)f = E_\lambda * f,$$

где  $*$  – свертка функций, а  $E_\lambda(x)$  – фундаментальное решение для оператора  $-\Delta u - \lambda u$ , заданное формулой

$$E_\lambda(x) = \frac{1}{4\pi\|x\|} e^{-\mu\|x\|},$$

где  $\mu^2 = -\lambda$ ,  $\operatorname{Re} \mu > 0$ . Отметим, что  $E_\lambda \in L_2(R^3)$ .

Анализ систем уравнений обычно оказывается более сложным по сравнению с анализом одного уравнения и содержит большее число возможных вариантов.

Наиболее простыми являются аппроксимации с помощью операторов конечного ранга. Мы применили подход, развитый в [3, 4], для исследования уравнений с  $\delta$ -образными коэффициентами. Он включает в себя следующие этапы: 1) построение аппроксимаций рассматриваемого выражения операторами конечного ранга; 2) нахождение явного вида резольвенты аппроксимирующего семейства; 3) нахождение предела резольвенты и выделение случаев резонанса; 4) описание спектра построенных предельных операторов; 5) исследование поведения собственных значений и собственных функций аппроксимирующих операторов. Первые четыре этапа изложены в [3, 5]. Цель данной работы заключается в нахождении асимптотики собственных вектор-функций для аппроксимаций

$$L_{\varepsilon 1}(u) = -\Delta u_1 + a_1(\varepsilon) \int u_2(y) \varphi_\varepsilon(y) dy \varphi_\varepsilon(x),$$

$$L_{\varepsilon 2}(u) = -\Delta u_2 + a_2(\varepsilon) \int u_1(y) \varphi_\varepsilon(y) dy \varphi_\varepsilon(x),$$

построенных в [2].

В работе приведено описание поведения семейства собственных вектор-функций для каждой из полученных в [5] ветвей собственных значений  $\lambda_j(\varepsilon)$ .

**1. Резольвентная сходимость и случаи резонанса.** В работе [2] мы рассматривали формальную систему

$$\begin{aligned} -\Delta u_1 + a_1(\varepsilon)\delta u_2 &= f_1, \\ -\Delta u_2 + a_2(\varepsilon)\delta u_1 &= f_2. \end{aligned} \tag{2}$$

Пусть  $\varphi$  – финитная функция из пространства Шварца  $D(R^3)$  [1], такая что  $\int \varphi(x)dx = 1$ . Тогда семейство гладких функций  $\varphi_\varepsilon(x) = \frac{1}{\varepsilon^3} \varphi\left(\frac{x}{\varepsilon}\right)$  задает аппроксимацию  $\delta$ -функции как элемента пространства обобщенных функций, а семейство функционалов  $\Phi_\varepsilon(u) = \int u(x)\varphi_\varepsilon(x)dx$  – аппроксимация  $\delta$ -функции как функционала. Поэтому для гладких функций  $u$  имеем  $\Phi_\varepsilon(u)\varphi_\varepsilon \rightarrow u(0)\delta = \delta u$  [4], т. е. на гладких функциях семейство операторов  $\Phi_\varepsilon(u)\varphi_\varepsilon$  сходится к произведению  $\delta u$ .

Таким образом, оператор

$$L_\varepsilon u = -\Delta u + a(\varepsilon) \int u(y)\varphi_\varepsilon(y)dy \varphi_\varepsilon(x)$$

задает аппроксимацию формального выражения  $-\Delta u + a(\varepsilon)\delta u$ . В покоординатной записи это семейство имеет вид

$$\begin{aligned} L_{\varepsilon 1}(u) &= -\Delta u_1 + a_1(\varepsilon) \int u_2(y)\varphi_\varepsilon(y)dy \varphi_\varepsilon(x), \\ L_{\varepsilon 2}(u) &= -\Delta u_2 + a_2(\varepsilon) \int u_1(y)\varphi_\varepsilon(y)dy \varphi_\varepsilon(x). \end{aligned}$$

В [2] была построена резольвента аппроксимирующего семейства  $L_\varepsilon(u)$ .

*Лемма.* Резольвента  $(L_\varepsilon - \lambda)^{-1}$  аппроксимирующего семейства  $L_\varepsilon(u)$  записывается в виде

$$(L_\varepsilon - \lambda)^{-1} f = R_0(\lambda)f - S(\varepsilon, \lambda) \cdot \tilde{f} \cdot (R_0(\lambda)\varphi_\varepsilon)(x),$$

где

$$R_0(\lambda)f = \begin{bmatrix} R_0(\lambda)f_1 \\ R_0(\lambda)f_2 \end{bmatrix}, \quad \tilde{f} = \begin{bmatrix} \tilde{f}_1 \\ \tilde{f}_2 \end{bmatrix}, \quad \tilde{f}_1 = \int (R_0(\lambda)f_2)(y)\varphi_\varepsilon(y)dy, \quad \tilde{f}_2 = \int (R_0(\lambda)f_1)(y)\varphi_\varepsilon(y)dy;$$

а  $S(\varepsilon, \lambda)$  есть матрица вида

$$S(\varepsilon, \lambda) = \frac{1}{1 - a_1(\varepsilon)a_2(\varepsilon)b^2(\varepsilon, \lambda)} \begin{bmatrix} a_1(\varepsilon) & -a_1(\varepsilon)a_2(\varepsilon)b(\varepsilon, \lambda) \\ -a_1(\varepsilon)a_2(\varepsilon)b(\varepsilon, \lambda) & a_2(\varepsilon) \end{bmatrix},$$

$$b(\varepsilon, \lambda) = \int (R_0(\lambda)\varphi_\varepsilon)(y)\varphi_\varepsilon(y)dy.$$

Резольвента определена, если  $\lambda \notin R^+ = (0; +\infty)$  и  $1 - a_1(\varepsilon)a_2(\varepsilon)b^2(\varepsilon, \lambda) \neq 0$ .

Функция  $b(\varepsilon, \lambda)$  является аналитической при  $\varepsilon \neq 0$ , и для нее имеет место разложение [4]

$$b(\varepsilon, \lambda) = \frac{M_{-1}}{\varepsilon} - \frac{\mu}{4\pi} + \sum_{k=1}^{\infty} M_k \mu^{k+1} \varepsilon^k,$$

где  $M_k = \frac{1}{4\pi} \int \left( \int \varphi(y)\overline{\varphi(x-y)}dy \right) \|x\|^k dx$ .

Ниже считаем, что

$$\frac{1}{a_1(\varepsilon)} = k_{-2}^1 \frac{1}{\varepsilon^2} + k_{-1}^1 \frac{1}{\varepsilon} + k_0^1, \quad \frac{1}{a_2(\varepsilon)} = k_{-2}^2 \frac{1}{\varepsilon^2} + k_{-1}^2 \frac{1}{\varepsilon} + k_0^2, \tag{3}$$

так как в этой тематике содержательные результаты получаются именно для таких коэффициентов.

Если предел

$$\lim_{\varepsilon \rightarrow 0} S(\varepsilon, \lambda) := D(\lambda) \quad (4)$$

есть нуль, то предел резольвент есть резольвента невозмущенного оператора  $-\Delta$ . В [2] показано, что предел (4) может быть ненулевым только в трех случаях, которые называются *случаями резонанса*.

**Теорема 1.** Для коэффициентов  $a_1(\varepsilon)$  и  $a_2(\varepsilon)$  вида (3) предел  $D(\lambda)$  может быть ненулевым только в трех случаях:

$$1) \frac{1}{a_1(\varepsilon)} = k_0^1 + k_1^1 \varepsilon + k_2^1 \varepsilon^2 + o(\varepsilon), \quad \frac{1}{a_2(\varepsilon)} = k_{-2}^2 \frac{1}{\varepsilon^2} + k_{-1}^2 \frac{1}{\varepsilon} + k_0^2 + o(\varepsilon),$$

т. е.  $k_{-2}^1 = 0, k_{-1}^1 = 0$ .

Тогда

$$D(\lambda) = \begin{bmatrix} \frac{k_{-2}^2}{k_0^1 k_{-2}^2 - M_{-1}^2} & 0 \\ 0 & 0 \end{bmatrix},$$

если  $k_0^1 k_{-2}^2 - M_{-1}^2 \neq 0$ .

В случае, когда  $k_0^1 k_{-2}^2 = M_{-1}^2$ , предел (4) равен бесконечности.

$$2) \frac{1}{a_1(\varepsilon)} = k_{-1}^1 \frac{1}{\varepsilon} + k_0^1 + k_1^1 \varepsilon + o(\varepsilon), \quad \frac{1}{a_2(\varepsilon)} = k_{-1}^2 \frac{1}{\varepsilon} + k_0^2 + k_1^2 \varepsilon + o(\varepsilon),$$

т. е.  $k_{-2}^1 = 0, k_{-2}^2 = 0$  и при этом выполнено условие резонанса  $k_{-1}^1 k_{-1}^2 = M_{-1}^2$ .

Тогда

$$D(\lambda) = \frac{1}{k_{-1}^1 k_0^2 + k_0^1 k_{-1}^2 + \frac{M_{-1} \mu}{2\pi}} \begin{bmatrix} k_{-1}^2 & -M_{-1} \\ -M_{-1} & k_{-1}^1 \end{bmatrix}.$$

$$3) \frac{1}{a_1(\varepsilon)} = k_{-2}^1 \frac{1}{\varepsilon^2} + k_{-1}^1 \frac{1}{\varepsilon} + k_0^1 + o(\varepsilon), \quad \frac{1}{a_2(\varepsilon)} = k_0^2 + k_1^2 \varepsilon + k_2^2 \varepsilon^2 + o(\varepsilon),$$

т. е.  $k_{-2}^2 = 0, k_{-1}^2 = 0$ .

Тогда

$$D(\lambda) = \begin{bmatrix} 0 & 0 \\ 0 & \frac{k_{-2}^1}{k_0^2 k_{-2}^1 - M_{-1}^2} \end{bmatrix},$$

если  $k_0^2 k_{-2}^1 - M_{-1}^2 \neq 0$ .

В случае, когда  $k_0^2 k_{-2}^1 = M_{-1}^2$ , предел (4) равен бесконечности.

Для всех остальных коэффициентов вида (3) предел (4) нулевой.

**2. Поведение собственных значений при стремлении  $\varepsilon$  к нулю.** Из построения резольвенты видно, что при фиксированном  $\varepsilon$  собственные значения для  $L_\varepsilon$  определяются из равенства

$$f(\varepsilon, \lambda) := \frac{1}{a_1(\varepsilon)a_2(\varepsilon)} - b^2(\varepsilon, \lambda) = 0, \quad (5)$$

где  $b(\varepsilon, \lambda)$  зависит от способа аппроксимации. Таким образом, данное равенство позволяет выявить зависимость собственных значений от  $\varepsilon$  для каждого вида рассматриваемых коэффициентов.

Здесь левая часть,  $f(\varepsilon, \lambda)$ , есть аналитическая функция от  $\varepsilon, \mu$ , при  $\varepsilon \neq 0$ . У уравнений вида (5) с аналитической функцией  $f$ , как правило, имеется несколько гладких ветвей решений.

В [5] было исследовано поведение этих ветвей в зависимости от выбранных коэффициентов и выбранной функции  $\varphi$ , где  $\varphi \in D(\mathbf{R})$ ,  $\varphi(x) \in \mathbf{R}$  и  $\int \varphi(x) dx = 1$ . Для этого был применен метод диаграмм Ньютона и показано, что разным случаям резонанса соответствуют разные диаграммы. Рассмотрим наиболее важные моменты этого подхода, который позволяет найти асимптотику не только ветвей решений уравнения (5), но и собственных функций при стремлении  $\varepsilon$  к нулю.

Пусть переменные  $x$  и  $y$  связаны уравнением

$$f(x, y) = 0, \tag{6}$$

где  $f(x, y) = \sum c_{kj} x^k y^j$  – аналитическая функция. Задача заключается в построении неявных функций, заданных этим уравнением, которые представимы в виде рядов по дробным степеням независимой переменной:

$$y(x) = \sum_{k=0}^{\infty} \alpha_k x^{\nu_k}.$$

В этой записи предполагается, что показатели степени  $x$  – числа  $\nu_k$  возрастают ( $\nu_{k+1} > \nu_k$ ) и коэффициенты  $\alpha_k$  ненулевые.

Если  $f$  является полиномом, сформулированная задача решается с помощью метода диаграмм Ньютона, главный принцип которого описывается в работах [6–9].

Основной шаг заключается в нахождении главного члена разложения, т. е. чисел  $\nu_0$  и  $\alpha_0$ . Для краткости обозначим эти коэффициенты через  $\nu$  и  $\alpha$ ; будем искать решения вида

$$y(x) = \alpha x^{\nu} + o(x^{\nu}), \alpha \neq 0. \tag{7}$$

Подставив  $y(x)$  вида (7) в уравнение (6) и преобразовав его, получаем выражение вида

$$\sum c_{kj} x^k (\alpha x^{\nu})^j = \sum \sum c_{kj} \alpha^j (x^{k+\nu j} + o(x^{k+\nu j})).$$

Далее рассматриваются только те  $k, j$ , при которых показатель  $k + \nu j$  имеет наименьшее значение, так как главный член разложения зависит только от этих слагаемых. Легко видеть, что если такая пара  $k, j$  только одна, то решение требуемого вида не существует. Таким образом, искомое  $\nu$  может существовать только тогда, когда таких пар несколько.

В случае многочлена для выбора тех значений  $\nu$ , которые дают решение, Ньютон предложил следующий геометрический прием. На плоскости  $XU$  рассматривается множество точек  $(k, j)$ , соответствующих ненулевым коэффициентам  $c_{kj}$ . Выпуклая оболочка множества таких точек называется многогранником Ньютона для полинома  $f(x, y)$ . Тогда искомые числа  $\nu$  могут быть только тангенсами угла наклона сторон полученного многогранника, таких чисел может быть только конечное число и при таких  $\nu$  уравнение для нахождения коэффициента  $\alpha$  содержит конечное число слагаемых, т. е.  $\alpha$  находится как корень некоторого многочлена.

При рассмотрении аналитических функций часть из приведенных выше рассуждений сохраняется. Пусть теперь  $f$  есть функция из левой части (5). Аналогично случаю полинома, рассмотрим множество  $M_p$ , состоящее из точек  $(k, j)$ , соответствующих ненулевым коэффициентам  $c_{kj}$ . Функция  $f$  имеет разложение

$$\begin{aligned} \frac{1}{a_1(\varepsilon)a_2(\varepsilon)} - b^2(\varepsilon, \lambda) &= k_{-2}^1 k_{-2}^2 \frac{1}{\varepsilon^4} + (k_{-2}^1 k_{-1}^2 + k_{-1}^1 k_{-2}^2) \frac{1}{\varepsilon^3} + (k_{-2}^1 k_0^2 + k_{-1}^1 k_{-1}^2 + k_0^1 k_{-2}^2 - M_{-1}^2) \frac{1}{\varepsilon^2} + \\ &+ \left( k_{-2}^1 k_0^2 + k_{-1}^1 k_0^2 + k_0^1 k_{-1}^2 + k_1^1 k_{-2}^2 + \frac{M_{-1}\mu}{2\pi} \right) \frac{1}{\varepsilon} + \left( k_{-2}^1 k_2^2 + k_{-1}^1 k_1^2 + k_1^1 k_{-1}^2 + k_0^1 k_0^2 + k_2^1 k_{-2}^2 - \frac{\mu^2}{16\pi^2} \right) + \\ &+ \sum_{k=1}^{\infty} C_k \mu^{k+2} \varepsilon^k, \end{aligned} \tag{8}$$

где коэффициенты  $C_k$  выражаются через  $M_k$ .

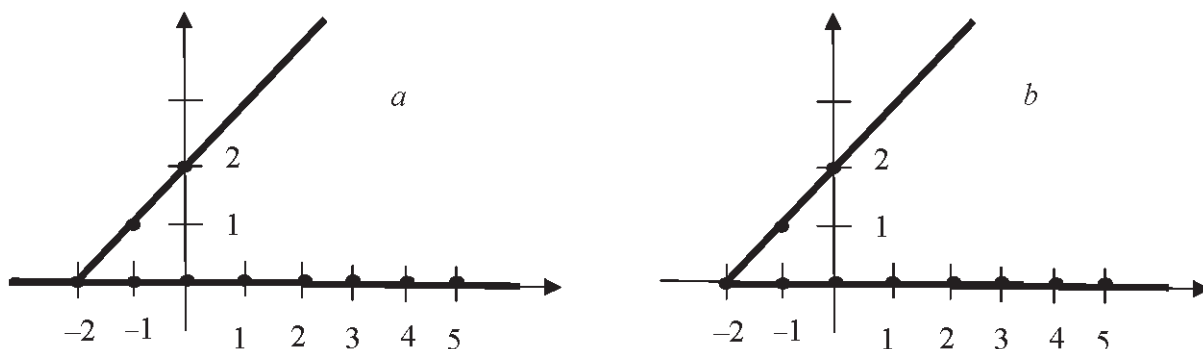


Рис. 1. Диаграмма Ньютона: *a* – диаграмма Ньютона для уравнения (8); *b* – диаграмма Ньютона для уравнения (8) в случае первого резонанса

Fig. 1. Newton’s diagram: *a* – Newton’s diagram for equation (8); *b* – Newton’s diagram for equation (8) for the first resonance

В общем случае диаграмма Ньютона  $M_f$  имеет вид, изображенный на рис. 1, *a*. В этом случае первое слагаемое в сумме (8) растет быстрее остальных, откуда следует, что при малых  $\varepsilon$  оператор  $L_\varepsilon$  не имеет собственных значений. Геометрически это проявляется в следующем. Граница выпуклой оболочки множества  $M_f$  содержит полупрямую  $y = x + 3, x \geq -3$ , а на этой полупрямой есть только одна точка из множества  $M_f$ . Поэтому уравнение для нахождения первого члена асимптотики содержит только одно слагаемое и не имеет решения.

Первому случаю резонанса соответствует диаграмма Ньютона на рис. 1, *b*. Диаграммы на рис. 1, *a* и 1, *b* отличаются только отрезком  $[-3; -2]$ . Но диаграмма на рис. 1, *b* содержит часть прямой  $\mu = 2 + \varepsilon$ , лежащую на границе выпуклой оболочки. Поэтому могут существовать решения, у которых главный член асимптотики имеет вид  $\mu(\varepsilon) = \alpha\varepsilon^{-1}, \alpha \neq 0$ .

Запишем сумму членов разложения функции  $f$  из (5), соответствующих прямой  $\mu = 2 + \varepsilon$ . Получаем, что эта сумма имеет вид

$$\left(k_0^1 k_{-2}^2 - M_{-1}^2\right) \frac{1}{\varepsilon^2} + \left(\frac{M_{-1}\mu}{2\pi}\right) \frac{1}{\varepsilon} + \left(-\frac{\mu^2}{16\pi^2}\right) + \sum_{k=1}^{\infty} C_k \mu^{k+2} \varepsilon^k = \mu^2 \psi(\varepsilon\mu),$$

где  $\psi(\varepsilon) = \left(k_0^1 k_{-2}^2 - M_{-1}^2\right) \frac{1}{\varepsilon^2} + \left(\frac{M_{-1}}{2\pi}\right) \frac{1}{\varepsilon} + \left(-\frac{1}{16\pi^2}\right) + \sum_{k=1}^{\infty} C_k \varepsilon^k$ .

При подстановке  $\mu(\varepsilon) = \alpha\varepsilon^{-1}, \alpha \neq 0$  получаем равенство  $\mu^2 \psi(\alpha) = 0$ . Таким образом, если  $\psi(\alpha) = 0$ , то  $\mu(\varepsilon) = \alpha\varepsilon^{-1} + o(\varepsilon), \alpha \neq 0$  является главным членом асимптотики собственного значения. Функция  $\psi$  определяется способом аппроксимации, каждый корень уравнения  $\psi(\alpha) = 0$  порождает собственное значение, стремящееся к бесконечности  $\varepsilon \rightarrow \infty$ . При этом не существует

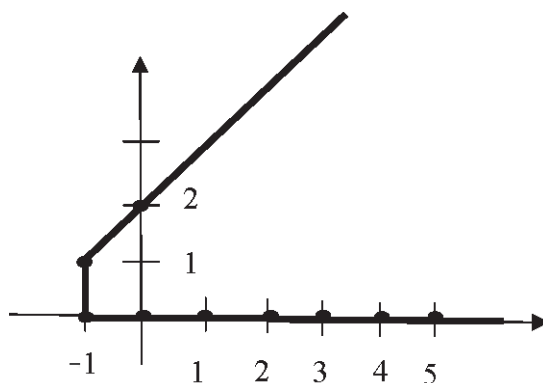


Рис. 2. Диаграмма Ньютона для уравнения (8) в случае второго резонанса

Fig. 2. Diagram of Newton’s equation (8) for the second resonance

других решений, имеющих степенную асимптотику. Это согласовано с тем, что предельный оператор в этом случае резонанса не имеет собственных значений.

Наиболее интересным является второй случай резонанса, когда  $k_{-1}^1 k_{-1}^2 = M_{-1}^2$ .

В этом примере существует одна ветвь решения уравнения (5), которое имеет конечный предел при  $\varepsilon \rightarrow 0$ , а остальные ветви уходят на бесконечность со скоростью  $\frac{1}{\varepsilon}$ .

Действительно, для этого случая диаграмма Ньютона выглядит следующим образом (рис. 2).

Различие в виде диаграмм приводит к разнообразному поведению собственных значений – корней уравнения (5).

На полученной диаграмме Ньютона имеется вертикальный отрезок, которому соответствуют, как и в случае многочленов, ветви решений, имеющие конечный предел при  $\varepsilon \rightarrow 0$ . Асимптотическое поведение таких ветвей определяется из уравнения, соответствующего этому вертикальному отрезку:

$$\left( k_{-1}^1 k_0^2 + k_0^1 k_{-1}^2 + \frac{M_{-1} \mu}{2\pi} \right) \frac{1}{\varepsilon} = 0.$$

У данного уравнения имеется только одно решение

$$\mu_0 = -\frac{2\pi(k_{-1}^1 k_0^2 + k_0^1 k_{-1}^2)}{M_{-1}}.$$

Заметим, что это число является единственным собственным значением предельного оператора, соответствующего указанному случаю резонанса. Таким образом, у семейства аппроксимирующих операторов существует одна непрерывная ветвь собственных значений, стремящаяся к собственному значению предельного оператора.

Как и в случае первого резонанса, одной из граней выпуклой оболочки является бесконечная полупрямая. Уравнение, для описания этой грани, имеет вид

$$\left( -\frac{\mu^2}{16\pi^2} \right) + \sum_{k=1}^{\infty} C_k \mu^{k+2} \varepsilon^k = \mu^2 \psi_1(\varepsilon \mu).$$

Аналогично получаем, что решениями, соответствующими этой грани, являются функции вида  $\mu = \frac{\alpha}{\varepsilon}$ , где  $\alpha$  – корень уравнения  $\psi_1(\alpha) = 0$ . Все такие решения уходят на бесконечность при  $\varepsilon \rightarrow 0$ .

Как и в классическом случае многочлена, может быть найден второй и последующие члены разложения. Для этого рассматриваются решения вида  $\mu(\varepsilon) = \mu_0 + \mu_1 \varepsilon + o(\varepsilon)$ , где второй член  $\mu_1(\varepsilon)$  определяется из соответствующей диаграммы Ньютона (рис. 3).

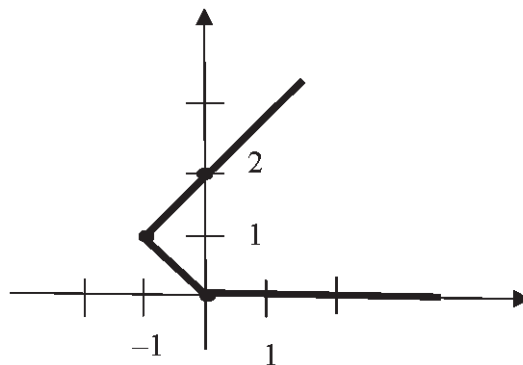


Рис. 3. Диаграмма Ньютона для нахождения  $\mu_1(\varepsilon)$   
 Fig. 3. Newton's diagram to find  $\mu_1(\varepsilon)$

**3. Исследование собственных вектор-функций.** Каждой из описанных выше ветвей собственных значений соответствует семейство собственных вектор-функций. В прикладных вопросах обычно процесс описывается с помощью оператора  $L_\varepsilon$  при конкретном фиксированном малом значении  $\varepsilon$ . Поэтому представляет интерес информация о виде собственных вектор-функций, соответствующих малым значениям  $\varepsilon$ , т. е. построение асимптотики собственных вектор-функций.

Собственные вектор-функции при фиксированном  $\varepsilon$  есть ненулевые решения системы

$$\begin{aligned} -\Delta u_1 - \lambda u_1 + a_1(\varepsilon) \int u_2(y, \varepsilon) \varphi_\varepsilon(y) dy \varphi_\varepsilon(x) &= 0, \\ -\Delta u_2 - \lambda u_2 + a_2(\varepsilon) \int u_1(y, \varepsilon) \varphi_\varepsilon(y) dy \varphi_\varepsilon(x) &= 0. \end{aligned}$$

Применяя оператор  $R_0(\lambda)$ , обратный к  $-\Delta u - \lambda u$ , получаем: если решение существует, то оно имеет вид (при  $\lambda$ , не лежащих на положительной полуоси)

$$u_1(x, \varepsilon) = C_1(\varepsilon) (R_0(\lambda) \varphi_\varepsilon)(x), \quad (9)$$

$$u_2(x, \varepsilon) = C_2(\varepsilon) (R_0(\lambda) \varphi_\varepsilon)(x);$$

где

$$C_1(\varepsilon) = -a_1(\varepsilon) \int u_2(y, \varepsilon) \varphi_\varepsilon(y) dy,$$

$$C_2(\varepsilon) = -a_2(\varepsilon) \int u_1(y, \varepsilon) \varphi_\varepsilon(y) dy.$$

Преобразовав выражения, получаем систему уравнений

$$\begin{cases} C_1(\varepsilon) + a_1(\varepsilon) b(\varepsilon, \lambda) C_2(\varepsilon) = 0, \\ a_2(\varepsilon) b(\varepsilon, \lambda) C_1(\varepsilon) + C_2(\varepsilon) = 0. \end{cases} \quad (10)$$

Условием совместности этой системы является равенство  $1 - a_1(\varepsilon) a_2(\varepsilon) b^2(\varepsilon, \lambda) = 0$ , которое совпадает с условием, что  $\lambda$  является собственным значением. Напомним, что мы рассматриваем  $\lambda$ , не лежащие на положительной полуоси.

Пусть  $\lambda_j(\varepsilon)$  есть одна из ветвей собственных значений, описанная выше. Рассмотрим соответствующие ей собственные вектор-функции. Поскольку они определяются с точностью до произвольного множителя, то будем считать  $C_2(\varepsilon) = C(\varepsilon)$  произвольным, а  $C_1(\varepsilon) = -C_2(\varepsilon) a_1(\varepsilon) b(\varepsilon, \lambda)$  из (10). Тогда

$$u_1(x, \varepsilon) = -C(\varepsilon) a_1(\varepsilon) b(\varepsilon, \lambda_j(\varepsilon)) (R_0(\lambda_j(\varepsilon)) \varphi_\varepsilon)(x), \quad (11)$$

$$u_2(x, \varepsilon) = C(\varepsilon) (R_0(\lambda_j(\varepsilon)) \varphi_\varepsilon)(x).$$

Поскольку  $C(\varepsilon)$  произвольно, задача о нахождении предела семейства (11) при  $\varepsilon \rightarrow 0$  не имеет решений. Чтобы придать смысл этому вопросу, будем выбирать  $C(\varepsilon)$  специальным образом. Наиболее простой способ определить  $C(\varepsilon)$  заключается в перенормировке семейства (11). Для этого разделим (11) на

$$\sqrt{\int \left[ (u_1(x, \varepsilon))^2 + (u_2(x, \varepsilon))^2 \right] dx} = |C(\varepsilon)| \sqrt{\left[ 1 + (a_1(\varepsilon) b(\varepsilon, \lambda_j(\varepsilon)))^2 \right] \int \left[ (R_0(\lambda_j(\varepsilon)) \varphi_\varepsilon)(x) \right]^2 dx}.$$

Это соответствует выбору  $C(\varepsilon) = \frac{1}{\sqrt{\left[ 1 + (a_1(\varepsilon) b(\varepsilon, \lambda_j(\varepsilon)))^2 \right] \int \left[ (R_0(\lambda_j(\varepsilon)) \varphi_\varepsilon)(x) \right]^2 dx}}$ .

Получаем семейство собственных вектор-функций вида



$$v_1(x, \varepsilon) = \frac{-a_1(\varepsilon)b(\varepsilon, \lambda_j(\varepsilon))(R_0(\lambda_j(\varepsilon))\varphi_\varepsilon)(x)}{\sqrt{\left[1 + (a_1(\varepsilon)b(\varepsilon, \lambda_j(\varepsilon)))^2\right] \int \left[(R_0(\lambda_j(\varepsilon))\varphi_\varepsilon)(x)\right]^2 dx}},$$

$$v_2(x, \varepsilon) = \frac{(R_0(\lambda_j(\varepsilon))\varphi_\varepsilon)(x)}{\sqrt{\left[1 + (a_1(\varepsilon)b(\varepsilon, \lambda_j(\varepsilon)))^2\right] \int \left[(R_0(\lambda_j(\varepsilon))\varphi_\varepsilon)(x)\right]^2 dx}}, \quad (12)$$

имеющих в  $L_2(R^3)^2$  норму 1 при всех  $\varepsilon$ .

Поведение семейства функций  $(R_0(\lambda_j(\varepsilon))\varphi_\varepsilon)(x)$  и выражений  $a_1(\varepsilon)b(\varepsilon, \lambda_j(\varepsilon))$  зависит от поведения ветви  $\lambda_j(\varepsilon)$  и коэффициента  $a_1(\varepsilon)$ . В соответствии с качественно различными случаями поведения  $\lambda_j(\varepsilon)$  для них возникают разные описания асимптотического поведения собственных вектор-функций (12).

Самый содержательный результат получается в случае второго резонанса, когда одна из ветвей имеет конечный предел, а остальные стремятся к бесконечности.

**Теорема 2.** Пусть  $\frac{1}{a_1(\varepsilon)} = k_{-1}^1 \frac{1}{\varepsilon} + k_0^1 + k_1^1 \varepsilon + o(\varepsilon)$ ,  $\frac{1}{a_2(\varepsilon)} = k_{-1}^2 \frac{1}{\varepsilon} + k_0^2 + k_1^2 \varepsilon + o(\varepsilon)$ , выполнено условие резонанса  $k_{-1}^1 k_{-1}^2 = M_{-1}^2$  и  $\lambda_0(\varepsilon)$  есть ветвь собственных значений, имеющая конечный предел  $\lambda_0 = -\mu_0^2$ , где  $\mu_0 = \frac{-2\pi(k_{-1}^1 k_0^2 + k_0^1 k_{-1}^2)}{M_{-1}}$ . Если  $-\mu_0^2$  не лежит на положительной полуоси, то семейство собственных вектор-функций при  $\varepsilon \rightarrow 0$  сходится к вектор-функции

$$\begin{pmatrix} u_1(x) \\ u_2(x) \end{pmatrix} = \tilde{C} \frac{1}{4\pi\|x\|} e^{-\mu_0\|x\|} \begin{pmatrix} \frac{-a_1^1 M_{-1}}{\sqrt{1 + [-a_1^1 M_{-1}]^2}} \\ 1 \\ \sqrt{1 + [-a_1^1 M_{-1}]^2} \end{pmatrix}, \quad (13)$$

которая является собственной вектор-функцией предельного оператора.

**Доказательство.** Используя то, что  $\lambda_0 = -\mu_0^2$  не лежит на положительной полуоси, можно прямыми вычислениями проверить, что  $(R_0(\lambda_j(\varepsilon))\varphi_\varepsilon)(x)$  сходится к фундаментальному решению  $E_{\lambda_0}(x)$  по метрике  $L_2$ .

В частности,  $\sqrt{\int \left[(R_0(\lambda_j(\varepsilon))\varphi_\varepsilon)(x)\right]^2 dx}$  сходится к  $\|E_{\lambda_0}(x)\|$ .

Из вышеизложенного получаем, что  $\frac{(R_0(\lambda_j(\varepsilon))\varphi_\varepsilon)(x)}{\sqrt{\int \left[(R_0(\lambda_j(\varepsilon))\varphi_\varepsilon)(x)\right]^2 dx}}$  при  $\varepsilon \rightarrow 0$  сходится к  $\tilde{C} \frac{1}{4\pi\|x\|} e^{-\mu_0\|x\|}$ , где  $\tilde{C} = \left\| \frac{e^{-\mu_0\|x\|}}{4\pi\|x\|} \right\|^{-1}$ .

Рассмотрим поведение коэффициентов системы (12) для второго случая резонанса

$$\begin{pmatrix} \frac{-a_1(\varepsilon)b(\varepsilon, \lambda_j(\varepsilon))}{\sqrt{\left[1 + (a_1(\varepsilon)b(\varepsilon, \lambda_j(\varepsilon)))^2\right]}} \\ 1 \\ \sqrt{\left[1 + (a_1(\varepsilon)b(\varepsilon, \lambda_j(\varepsilon)))^2\right]} \end{pmatrix}, \quad (14)$$

при  $\varepsilon \rightarrow 0$  и где  $\lambda_j(\varepsilon)$  – корень уравнения  $1 - a_1(\varepsilon)a_2(\varepsilon)b^2(\varepsilon, \lambda) = 0$ .

В терминах исходных коэффициентов случай 2) соответствует коэффициентам вида

$$a_1(\varepsilon) = a_1^1 \varepsilon + a_2^1 \varepsilon^2 + o(\varepsilon), \quad a_2(\varepsilon) = a_1^2 \varepsilon + a_2^2 \varepsilon^2 + o(\varepsilon),$$

или

$$\frac{1}{a_1(\varepsilon)} = k_{-1}^1 \frac{1}{\varepsilon} + k_0^1 + k_1^1 \varepsilon + o(\varepsilon), \quad \frac{1}{a_2(\varepsilon)} = k_{-1}^2 \frac{1}{\varepsilon} + k_0^2 + k_1^2 \varepsilon + o(\varepsilon).$$

Во втором случае резонанса, при  $\mu \rightarrow \mu_0$ , где  $\mu_0 = \frac{-2\pi(k_{-1}^1 k_0^2 + k_0^1 k_{-1}^2)}{M_{-1}}$ , получаем, что пре-

дел (14) при  $\varepsilon \rightarrow 0$  равен 
$$\left( \frac{\frac{-a_1^1 M_{-1}}{\sqrt{1 + [-a_1^1 M_{-1}]^2}}}{1} \right),$$
 а предел собственных вектор-функций имеет вид (13).

Покажем, что во всех остальных случаях предел семейства нормированных собственных вектор-функций не существует.

Напомним, что последовательность функций  $f_n$ , заданных на пространстве с мерой, сходится к функции  $f$  почти всюду, если  $f_n(x) \rightarrow f(x)$  почти для всех  $x \in X$ , т. е. существует такое множество  $X_0$  меры нуль, что  $f_n(x) \rightarrow f(x)$  для всех  $x \in X \setminus X_0$ .

Последовательность  $x_n$  точек банахова пространства  $X$  слабо сходится к точке  $x_0 \in X$ , если для любого  $f \in X'$  выполнено  $f(x_n) \rightarrow f(x_0)$ .

**Теорема 3.** Пусть  $\frac{1}{a_1(\varepsilon)} = k_{-1}^1 \frac{1}{\varepsilon} + k_0^1 + k_1^1 \varepsilon + o(\varepsilon)$ ,  $\frac{1}{a_2(\varepsilon)} = k_{-1}^2 \frac{1}{\varepsilon} + k_0^2 + k_1^2 \varepsilon + o(\varepsilon)$  и выполнено условие резонанса  $k_{-1}^1 k_{-1}^2 = M_{-1}^2$ , и  $\lambda_j(\varepsilon)$  – одна из ветвей собственных значений, стремящихся к бесконечности. Тогда при  $\varepsilon \rightarrow 0$  нормированное семейство собственных вектор-функций сходится почти всюду и слабо к нулю и, следовательно, не имеет предела в пространстве  $L_2$ .

**Доказательство.** Пусть  $\lambda_j(\varepsilon) = \frac{-V}{\varepsilon}$ . Тогда  $b(\varepsilon) = \frac{1}{\varepsilon} \left( M_{-1} - \frac{V}{4\pi} + \sum_{k=1}^{\infty} M_k V^{k+1} \varepsilon^{k-1} \right)$ , а предел системы коэффициентов (14) при  $\varepsilon \rightarrow 0$  равен

$$\left( \frac{\frac{-a_1^1 \left( M_{-1} - \frac{V}{4\pi} \right)}{\sqrt{1 + \left[ -a_1^1 \left( M_{-1} - \frac{V}{4\pi} \right) \right]^2}}}{1} \right).$$

Поэтому исследование поведения семейства собственных функций сводится к исследованию по-

ведения 
$$f_\varepsilon(x) = \frac{(R_0(\lambda_j(\varepsilon))\varphi_\varepsilon)(x)}{\sqrt{\int [(R_0(\lambda_j(\varepsilon))\varphi_\varepsilon)(x)]^2 dx}}.$$

Надо проверить, что  $f_\varepsilon(x)$  почти всюду стремится к нулю и что

$$\int f_\varepsilon(x)g(x)dx \rightarrow 0 \tag{15}$$

для любой функции  $g \in L_2$ .

После преобразования Фурье получаем, что норма  $\sqrt{\int \left[ (R_0(\lambda_j(\varepsilon))\varphi_\varepsilon)(x) \right]^2 dx}$  выражается через величину

$$N(\varepsilon) = \sqrt{\int \left( \frac{\hat{\varphi}(\varepsilon\xi)}{|\xi|^2 + \frac{V}{\varepsilon}} \right)^2 d\xi},$$

и можно показать, что она ведет себя асимптотически как  $\sqrt[4]{\varepsilon}$ .

После преобразования Фурье интеграл из (15) выражается через

$$\frac{1}{N(\varepsilon)} = \int \frac{\hat{\varphi}(\varepsilon\xi)\hat{g}(\xi)}{|\xi|^2 + \frac{V}{\varepsilon}} d\xi.$$

Здесь в каждой фиксированной точке  $\xi$  подынтегральное выражение стремится к 0, как  $\varepsilon$ , а нормированная функция – как  $\sqrt[4]{\varepsilon^3}$ , т. е. почти всюду сходится к нулю.

Согласно неравенству Коши – Буняковского,

$$\left| \int \frac{\hat{\varphi}(\varepsilon\xi)\hat{g}(\xi)}{|\xi|^2 + \frac{V}{\varepsilon}} d\xi \right|^2 \leq \int \left( \frac{\hat{\varphi}(\varepsilon\xi)}{|\xi|^2 + \frac{V}{\varepsilon}} \right)^2 d\xi \int |\hat{g}(\xi)|^2 d\xi.$$

Здесь интегралы  $\int \left( \frac{\hat{\varphi}(\varepsilon\xi)}{|\xi|^2 + \frac{V}{\varepsilon}} \right)^2 d\xi$  стремятся к нулю, как  $\sqrt{\varepsilon}$ . Поэтому интегралы (15) стремятся к 0.

Таким образом, семейство нормированных собственных функций  $f_\varepsilon(x)$  слабо сходится к 0 в  $L_2$ . Аналогично доказательству теорем 2 и 3 можно провести доказательство следующих теорем.

**Теорема 4.** Пусть  $\frac{1}{a_1(\varepsilon)} = k_0^1 + k_1^1\varepsilon + k_2^1\varepsilon^2 + o(\varepsilon)$ ,  $\frac{1}{a_2(\varepsilon)} = k_{-2}^2 \frac{1}{\varepsilon^2} + k_{-1}^2 \frac{1}{\varepsilon} + k_0^2 + o(\varepsilon)$  и  $\mu = -\frac{2\pi(k_1^1 k_{-1}^2 + k_0^1 k_0^2 + k_2^1 k_{-2}^2)}{M_{-1}}\varepsilon + o(\varepsilon)$ , тогда при  $\varepsilon \rightarrow 0$  нормированное семейство собственных вектор-функций сходится почти всюду и слабо к нулю.

**Теорема 5.** Пусть  $\frac{1}{a_1(\varepsilon)} = k_{-2}^1 \frac{1}{\varepsilon^2} + k_{-1}^1 \frac{1}{\varepsilon} + k_0^1 + o(\varepsilon)$ ,  $\frac{1}{a_2(\varepsilon)} = k_0^2 + k_1^2\varepsilon + k_2^2\varepsilon^2 + o(\varepsilon)$  и  $\mu = -\frac{2\pi(k_{-2}^1 k_2^2 + k_{-1}^1 k_1^2 + k_0^1 k_0^2)}{M_{-1}}\varepsilon + o(\varepsilon)$ , тогда при  $\varepsilon \rightarrow 0$  нормированное семейство собственных вектор-функций сходится почти всюду и слабо к нулю.

### Список использованных источников

1. Решаемые модели в квантовой механике / С. Альберерио [и др.]. – М.: Мир, 1991. – 568 с.
2. Кот, М. Г. О резольвентной сходимости операторов, аппроксимирующих систему уравнений  $\delta$ -образными коэффициентами / М. Г. Кот // Вестн. БГУ. Сер. 1, Физика. Математика. Информатика. – 2015. – № 3. – С. 111–117.
3. Антоневиц, А. Б. Аппроксимации операторов с дельта-образными коэффициентами / А. Б. Антоневиц, Т. А. Романчук // Актуальные проблемы математики: сб. науч. тр. ГрГУ им. Я. Купалы; редкол.: Е. А. Ровба [и др.]. – Гродно: ГрГУ, 2008. – С. 11–28.
4. Антоневиц, А. Б. Уравнения с дельта-образными коэффициентами: метод конечномерных аппроксимаций / А. Б. Антоневиц, Т. А. Романчук. – Саарбрюккен: Lap Lambert, 2012. – 148 с.
5. Кот, М. Г. Асимптотика собственных значений операторов, аппроксимирующих дифференциальные уравнения с  $\delta$ -образными коэффициентами / М. Г. Кот // Журн. Бел. гос. ун-та. Математика. Информатика. – 2017. – № 1. – С. 3–10.

6. Кашенко, И. С. Асимптотическое разложение решений уравнений: метод указания / И. С. Кашенко. – Ярославль: ЯрГУ, 2011. – 44 с.
7. Васильев, В. А. Асимптотика экспоненциальных интегралов, диаграмма Ньютона и классификация точек минимума / В. А. Васильев // Функциональный анализ и его приложения. – 1977. – Т. 11, вып. 3. – С. 1–11.
8. Забрейко, П. П. Диаграммы Ньютона и алгебраические кривые / П. П. Забрейко, А. В. Кривко-Красько // Тр. Ин-та математики НАН Беларуси. – 2014. – Т. 22, № 2. – С. 32–45.
9. Забрейко, П. П. Диаграммы Ньютона и алгебраические кривые. II / П. П. Забрейко, А. В. Кривко-Красько // Тр. Ин-та математики НАН Беларуси. – 2015. – Т. 23, № 1. – С. 64–75.

## References

1. Albeverio S., Gesztesy F., Hoegh-Krohn R., Holden H., Exner P. *Solvable models in quantum mechanics*. Berlin, Springer, 1988. 458 p. Doi: 10.1007/978-3-642-88201-2
2. Kot M. G. About resolvent convergence of operator approximating systems of equations with  $\delta$ -shaped coefficients. *Vestnik BGU. Seriya 1, Fizika. Matematika. Informatika = Vestnik BSU. Series 1: Physics. Mathematics. Informatics*, 2015, no. 3, pp.111–117 (in Russian).
3. Antonevich A. B., Romanchuk T. A. Approximation operators with delta -shaped coefficients. *Aktualnye problemy matematiki: sbornik nauchnykh trudov* [Actual problems of mathematics: the collection of scientific papers]. Grodno, Grodno State University, 2008, pp. 11–28 (in Russian).
4. Antonevich A. B., Romanchuk T. A. *Equations with delta-shaped coefficients: method of finite-dimensional approximations*. Saarbrücken, Lap Lambert, 2012. 148 p. (in Russian).
5. Kot M. G. Asymptotics of the eigenvalues of approximating differential equations with  $\delta$ -different coefficients. *Zhurnal Belorusskogo gosudarstvennogo universiteta. Matematika. Informatika = Journal of the Belarusian State University. Mathematics and Informatics*, 2017, no. 1, pp. 3–10 (in Russian).
6. Kaschenko I. S. *The asymptotic expansion of the solutions of equations: the method of guidance*. Yaroslavl, Yaroslavl State University, 2011. 44 p. (in Russian).
7. Vasil'ev V. A. Asymptotic exponential integrals, Newton's diagram and classification of minimum points. *Functional Analysis and Its Applications*, 1977, vol. 11, no. 3, pp. 163–172. Doi: 10.1007/bf01079460
8. Zabreiko P. P, Krivko-Kras'ko A. V. Newton diagrams and algebraic curves. *Trudy Instituta matematiki = Proceedings of the Institute of Mathematics*, 2014, vol. 22, no. 2, pp. 32–45 (in Russian).
9. Zabreiko P. P, Krivko-Kras'ko A. V. Newton diagrams and algebraic curves II. *Trudy Instituta matematiki = Proceedings of the Institute of Mathematics*, 2015, vol. 23, no. 1, pp. 64–75 (in Russian).

## Информация об авторе

**Кот Марина Геннадьевна** – аспирант, Белорусский государственный университет (пр. Независимости, 4, 220030, г. Минск, Республика Беларусь). E-mail: mtorkaylo@mail.ru

## Information about the author

**Marina G. Kot** – Postgraduate, Belarusian State University (4, Nezavisimosti Ave., 220030, Minsk, Republic of Belarus). E-mail: mtorkaylo@mail.ru